

Оценки прогнозов метеорологических полей, рассчитанные для  
различных моделей по территории России  
за период: февраль 2026 г. (исходный срок: 12 ч ВСВ)

На графиках представлены следующие модели:

**UKMO** - Метеорологический центр Великобритании (сетка поступления  $1^\circ \times 1^\circ$ );

**NCEP** - Метеорологический центр США (сетка  $0,5^\circ \times 0,5^\circ$ );

**ICON** - Метеорологический центр ФРГ (сетка  $0,25^\circ \times 0,25^\circ$ );

**ICON-Ru** - модель ICON, которая рассчитывается в ФГБУ «Гидрометцентр России»  
(сетка  $0,25^\circ \times 0,25^\circ$ );

**ECMWF** - модель Европейского Центра среднесрочных прогнозов (сетка  $0,4^\circ \times 0,4^\circ$ );

**PLAV10** - полулагранжева модель с разрешением  $\sim 10$  км (ФГБУ «Гидрометцентр России»,  
автор М.А. Толстых);

**COSMO-6,6** - негидростатическая мезомасштабная модель с шагом сетки 6,6 км  
(Консорциум COSMO, ФГБУ «Гидрометцентр России»).

Заметим, что реальное разрешение в этих моделях 10-15 км.

График изменения средней квадратической ошибки прогноза  $P_0$   
в зависимости от заблаговременности.  
Регион: Россия (Оценка по сетке  $0,5^\circ \times 0,5^\circ$ ).

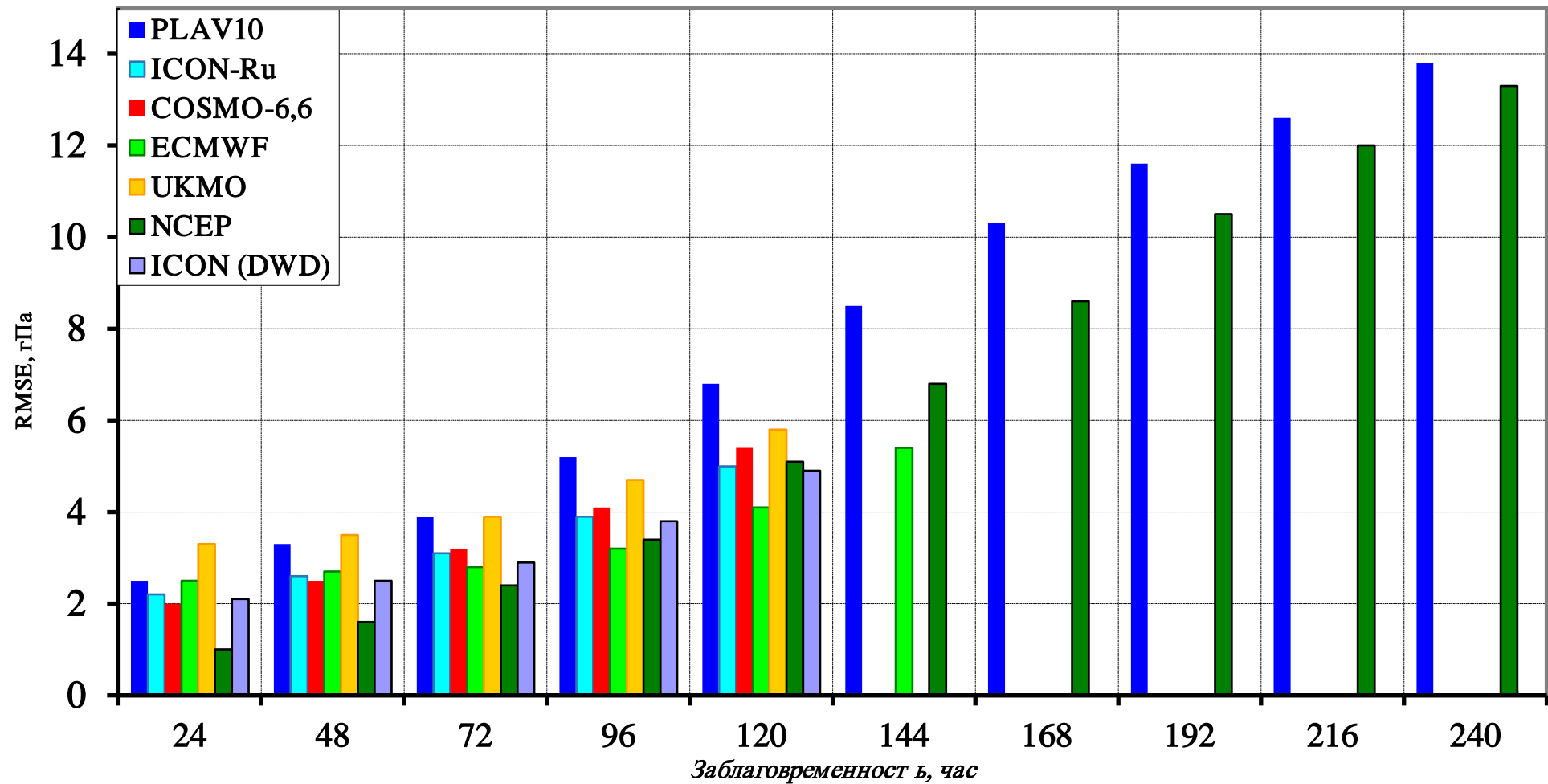


График изменения средней квадратической ошибки прогноза Н-500  
в зависимости от заблаговременности.  
Регион: Россия (Оценка по сетке  $0,5^\circ \times 0,5^\circ$ ).

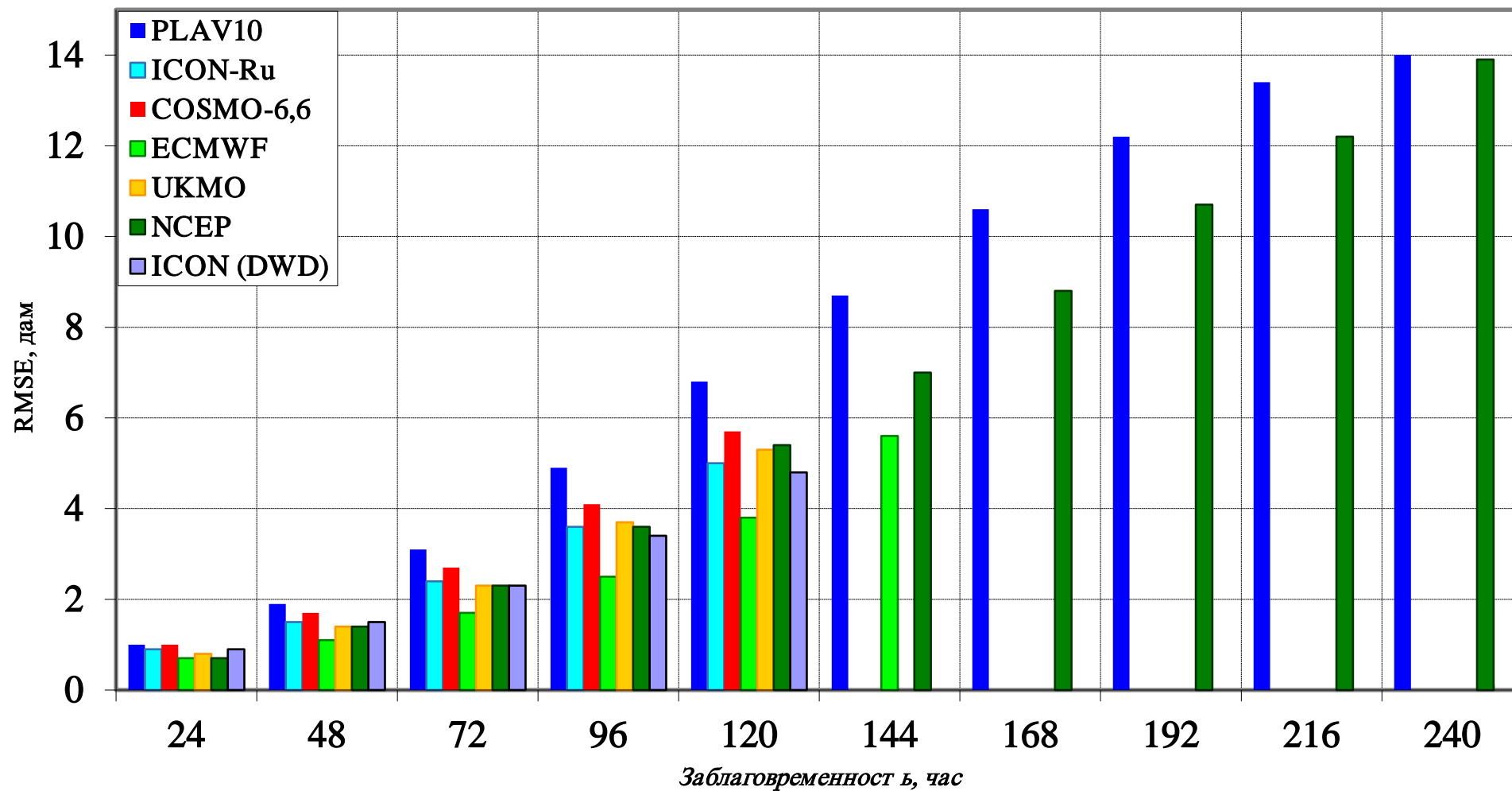


График изменения средней квадратической ошибки прогноза T-850  
в зависимости от заблаговременности.  
Регион: Россия (Оценка по сетке 0,5° x 0,5°).

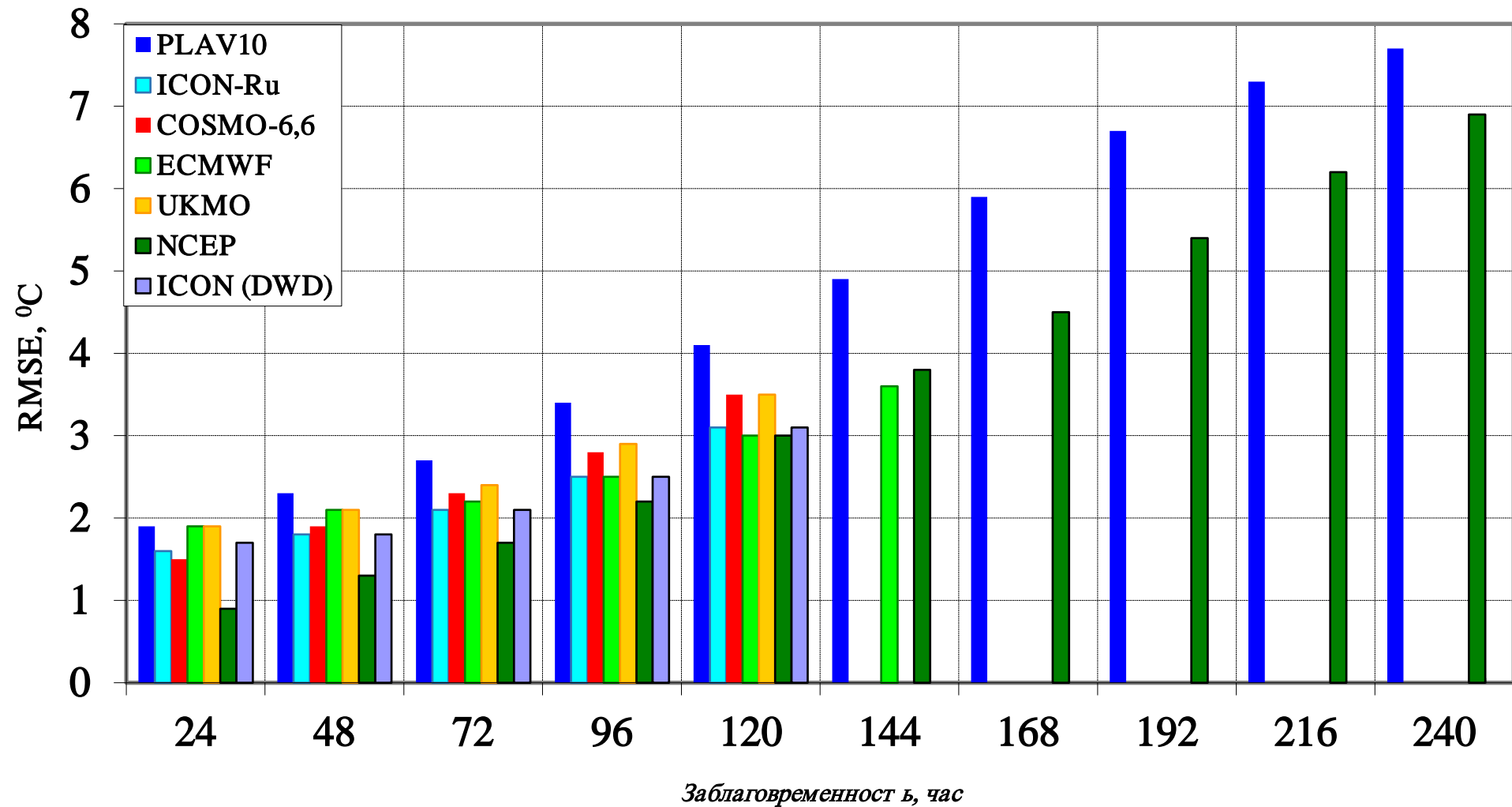


График изменения средней квадратической векторной ошибки прогноза V-250  
в зависимости от заблаговременности.

Регион: Россия (Оценка по сетке  $0,5^\circ \times 0,5^\circ$ ).

RMSE, м/с

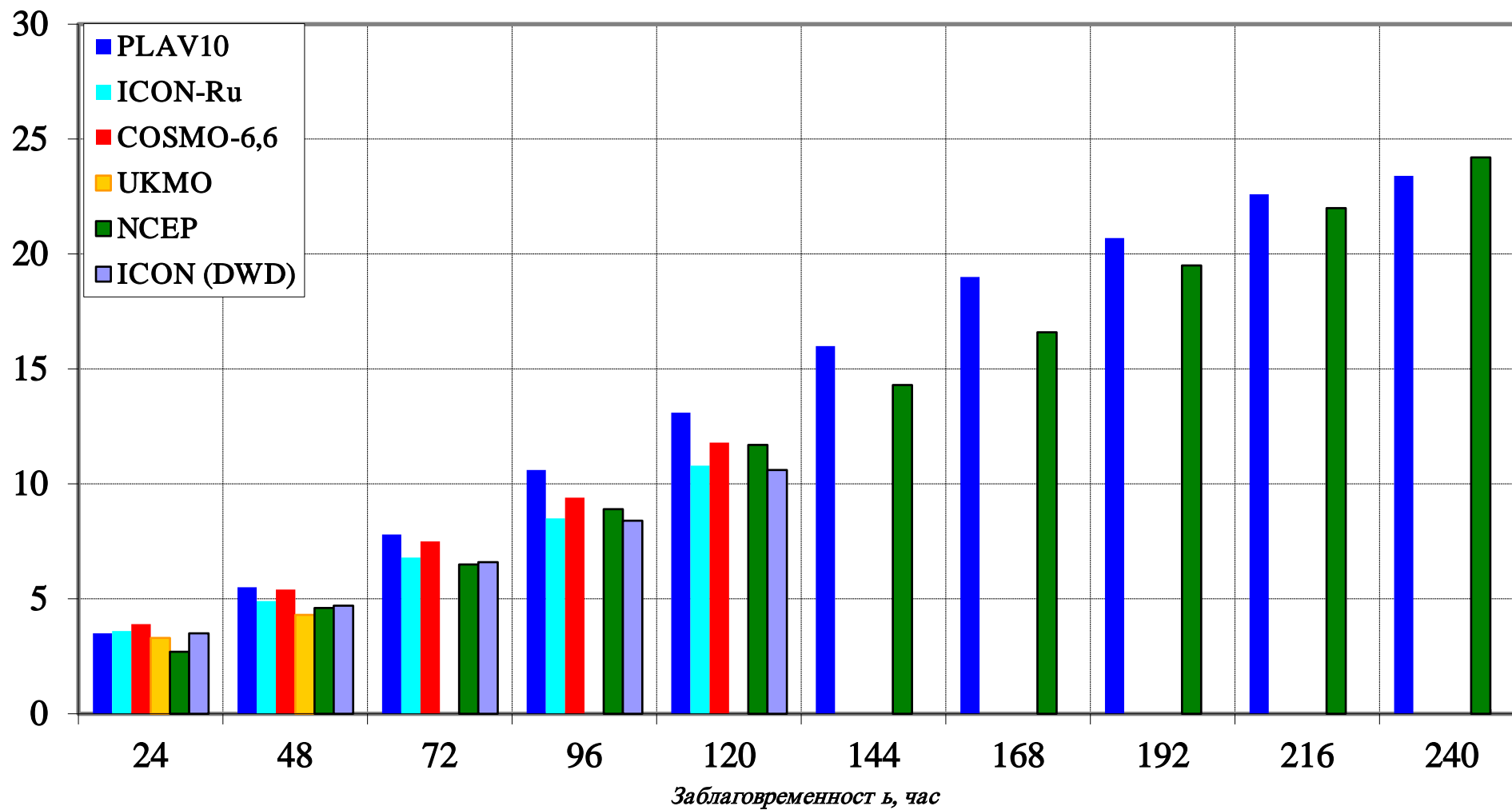


График изменения абсолютной ошибки прогноза  $T_z$   
в зависимости от заблаговременности. Регион: Россия (Оценка по сетке  $0,5^\circ \times 0,5^\circ$ ).

